DOI: 10.3872/j.issn.1007-385x.2022.03.007

・临床研究・

CTHRC1通过活化FAK-ERK1/2信号通路促进膀胱癌5637细胞迁移和侵袭

印胡滨^{a,b},何卫阳^a,周翔^{a,b}, 苘欣^a(重庆医科大学附属第一医院 a. 泌尿外科; b. 分子肿瘤与表观遗传学重庆市重点实验室,重庆 400016)

[摘 要] 目的:探讨胶原三螺旋重复蛋白1(CTHRC1)在膀胱癌组织和细胞中的表达及其对膀胱癌5637细胞迁移和侵袭的影响及其机制。方法:利用TCGA和Arrayexpress数据库中膀胱癌基因表达数据,分析CTHRC1转录和翻译水平。收集2014年9月至2020年12月重庆医科大学附属第一医院手术切除的144例膀胱癌组织和25例全膀胱切除的癌旁组织标本,以及人膀胱癌细胞RT4、5637、T24、UMUC-3、TCCSUP和输尿管上皮永生化细胞SV-HUC-1。采用免疫组织化学染色法、qPCR法和WB法检测膀胱癌组织和细胞中CTHRC1的表达水平,通过Kaplan-Meier曲线分析CTHRC1表达对总生存期(OS)的影响。运用RNAi技术,敲降5637细胞CTHRC1表达后,通过细胞划痕实验和Transwell实验检测CTHRC1表达下调对5637细胞迁移和侵袭的影响。利用基因集富集分析(GSEA)预测CTHRC1相关的潜在信号通路,WB法检测敲降CTHRC1表达对FAK-ERK1/2通路相关蛋白表达的影响。结果:CTHRC1的转录和翻译水平在肌层浸润性膀胱癌(MIBC)组织和细胞中表达显著上调(均P<0.05),CTHRC1高表达组患者5年OS较低表达患者缩短(P<0.05)。干扰CTHRC1表达后,膀胱癌5637细胞迁移及侵袭能力均显著降低(均P<0.01)。GSEA预测显示,CTHRC1高表达组主要富集在黏着斑激酶(FAK)、肌动蛋白细胞骨架调节、FAK和ERK1/2信号通路。WB法实验结果表明,重组CTHRC1蛋白促进膀胱癌5637细胞FAK-ERK1/2信号通路活化(P<0.05或P<0.01)。结论:CTHRC1在MIBC中表达上调,且与膀胱癌患者不良预后密切相关;CTHRC1促进膀胱癌细胞迁移和侵袭,该过程可能与FAK-ERK1/2信号通路的激活有关。

[关键词] 胶原三螺旋重复蛋白1;膀胱癌;5637细胞;迁移;侵袭;FAK-ERK1/2信号通路;预后 [中图分类号] R737.14; R730.23; R730.7 [文献标识码] A [文章编号] 1007-385x(2022)03-0209-09

CTHRC1 promotes the migration and invasion of bladder cancer 5637 cells through activating the FAK-ERK1/2 signaling pathway

YIN Hubin^{a,b}, HE Weiyang^a, ZHOU Xiang^{a,b}, GOU Xin^a (a. Department of Urology; b. Chongqing Key Laboratory of Molecular Oncology and Epigenetics, the First Affiliated Hospital of Chongqing Medical University, Chongqing 400016, China)

[Abstract] Objective: To investigate the expression of collagen triple helix repeat containing-1 (CTHRC1) in bladder cancer tissues and cells and its effect on the migration and invasion of bladder cancer 5637 cells as well as the related mechanisms. Methods: By referring to the bladder cancer gene expression data in TCGA and Arrayexpress databases, CTHRC1 transcriptional and translational levels were analyzed. 144 cases of bladder cancer tissues and 25 cases of para-cancerous tissues resected in the First Affiliated Hospital of Chongqing Medical University from September 2014 to December 2020 were collected for this study; in addition, human bladder cancer cells (RT4, 5637, T24, UMUC-3 and TCCSUP) and immortalized human ureteral epithelial SV-HUC-1 cells were also collected. The expression levels of CTHRC1 in human bladder cancer tissues and cell lines were detected by immunohistochemistry staining, qPCR and WB. The Kaplan-Meier curve was used to analyze the effect of CTHRC1 expression on overall survival (OS). CTHRC1 expression in 5637 cells was interfered using RNAi technology, and then the effects of CTHRC1 knockdown on migration and invasion of bladder cancer 5637 cells were detected by scratch and Transwell assays. Gene set enrichment analysis (GSEA) was used to predict potential signaling pathways associated with CTHRC1. WB was utilized to detect the effect of CTHRC1 knockdown on the expression of FAK-ERK1/2 pathway related proteins. Results: The transcriptional and translational levels of CTHRC1 were significantly up-regulated in muscle-invasive bladder cancer tissues and cells (all P<0.05), and the 5-year OS was significantly shorter in the patients with high CTHRC1 expression as compared with those with low expression (P<0.05). The migration and invasion of bladder cancer 5637 cells were reduced following CTHRC1 knockdown (all P<0.01). GSEA showed that the CTHRC1 high-expression

[基金项目] 国家自然科学基金资助项目(No. 81874092)

[作者简介] 印胡滨(1990—),男,博士生,住院医师,主要从事肿瘤微环境与膀胱癌进展的机制研究,E- mail: dr-yin-cqmu@qq.com

[通信作者] 苟欣,E-mail: gouxincq@163.com

group was mainly enriched in focal adhesion kinase (FAK), regulation of actin cytoskeleton, and FAK-ERK1/2 signaling pathways. WB assay showed that recombinant CTHRC1 protein promoted the activation of FAK-ERK1/2 signaling pathway in bladder cancer 5637 cells (P<0.05 or P<0.01). **Conclusion:** CTHRC1 expression is up-regulated in invasive bladder cancer and closely related to the poor prognosis of bladder cancer patients. CTHRC1 enhances the invasion and metastasis of bladder cancer cells, which may be associated with the activation of the FAK-ERK1/2 signaling pathway.

[Key words] collagen triple helix repeat containing-1 (CTHRC1); bladder cancer; 5637 cell; migration; invasion; FAK-ERK1/2 signaling pathway; prognosis

[Chin J Cancer Biother, 2022, 29(3): 209-217. DOI: 10.3872/j.issn.1007-385x.2022.03.007]

细胞外基质蛋白是肿瘤微环境的主要成分之 一,可分为结构性和非结构性细胞外基质蛋白。结 构性细胞外基质蛋白为肿瘤生长提供物理支架、储 存与维持肿瘤微环境稳定所必须的生长因子(如 HGF、FGF和PDGF等),增强细胞外基质中各类细胞 与肿瘤细胞之间的相互作用[1]。非结构性基质蛋白 具有诸多生物学活性,在慢性炎症、肿瘤生长和转移 中发挥重要作用,如OPN、SPARC、VCAN、MMP和 CXC型趋化因子等[2-7]。近年来细胞外基质蛋白在炎 症反应和肿瘤进展中有重要功能。有研究结果图发 现,胶原三螺旋重复蛋白1(collagen triple helix repeat containing-1, CTHRC1)在许多人实体瘤中普 遍表达上调,并且与肿瘤恶性侵袭性的特征和不良 预后密切相关。但CTHRC1在膀胱癌中的表达及其 生物学作用目前尚不清楚。因此,本研究利用癌症 基因组图谱(TCGA)数据库中的测序数据和 ArrayExpress 数据库资料联合分析 CTHRC1 在不同 类型膀胱癌组织中的表达水平,通过免疫组化和 qPCR法检测CTHRC1在不同类型膀胱癌组织和细 胞中的表达,运用RNAi技术体外敲降CTHRC1表达 后探究其对膀胱癌细胞迁移和侵袭的影响及潜在分 子机制,旨在为膀胱癌的诊断和治疗提供新的生物 标志物和治疗靶点。

1 资料与方法

1.1 数据收集

本研究遵循 TCGA 的访问规则和发布指南,从TCGA 数据库(https://gdc-portal.nci.nih.gov/)下载有完整的 RNA-sequence 数据的 405 例膀胱癌和 19 例膀胱正常组织进行基因表达量分析;从TCGA 数据库下载膀胱癌患者的 mRNA 测序表达谱和临床数据纳入标准:(1)诊断为肌层浸润性膀胱癌(muscle-invasive bladder cancer, MIBC);(2)有完整的 RNA-sequence数据;(3)附带详细的临床病理数据,包括病理分期、总生存期(OS)和相应的随访时间信息等。本研究共纳入 362 例膀胱癌标本。

从ArrayExpress数据军(www.ebi.ac.uk/arrayexpress/) 下载E-MTAB-1940和E-MTAB-1803的mRNA表达谱 矩阵文件。AffymetrixHG-U133 Plus 2.0平台上操作的 E-MTAB-1803、E-MTAB-1940芯片中包含 4 例正常膀胱组织、42 例 Ta 期和 41 例 T1 期膀胱癌组织,该平台上操作的 E-MTAB-1803芯片包含 79 例 MIBC 组织。采用 RMA(robust multichip average)算法对原始芯片数据进行归一化处理,并转换为Log2模式。使用 Affymetrix注释文件对探针进行注释。

1.2 组织标本来源及随访

收集2014年9月至2020年12月重庆医科大学附属第一医院泌尿外科手术切除并经病理确诊的144例膀胱癌组织标本,同时选取25例全膀胱切除的癌旁组织标本作为对照。获取标本后,将其冷冻并保存在-80℃冰箱中备用。所有组织标本的收集和使用均得到医院伦理委员会的批准(批准号:201802),均告知患者并签署知情同意书。

随访调查患者死亡时间及原因,以及发生远处转移的时间,观察患者OS。随访从第一次明确诊断开始,直至全因死亡或发生远处转移或末次随访时间;发现患者死亡或转移,随访即终止。随访截止时间为2021年1月31日,共随访55例患者,记为CQMU队列。

1.3 细胞及主要试剂

 $-\oplus$

人膀胱癌细胞RT4、5637、T24、UMUC-3和TCCSUP,以及人输尿管上皮永生化细胞SV-HUC-1均购自美国ATCC细胞库。

RPMI 1640、胰蛋白酶、Transwell小室购自美国康宁公司,TRIzol试剂、PCR 引物、PVDF 膜、Lipofectamine 2000、OPTI-MEM 培养基等购自美国Invitrogen公司,逆转录试剂盒、SYBR 荧光染料购自日本 TaKaRa公司,F-12K完全培养基、McCoy's 5A完全培养基、MEM完全培养基、胎牛血清(FBS)等购自上海中乔新舟公司,免疫组化试剂盒购自北京中杉金桥公司,siRNA购自上海吉玛公司,化学发光试剂购自美国 Millipore 公司,人工基膜(matrigel 胶)购自美国 BD Biosciences 公司,CTHRC1 抗体(ab85739)购自美国 Abcam公司,β-actin 抗体(60008-1-Ig)购自武汉三鹰公司,磷酸化黏着斑激酶(phospho-FAK,p-FAK)(Tyr397)抗体(#8556)、FAK(Tyr925)抗体

(#3284)、FAK 抗体(#13009)、p44/42 MAPK 抗体(#4370)、p44/42 MAPK 抗体(#4695)、山羊抗兔二抗(#7074)、山羊抗鼠二抗(#7076)均购自美国 Cell Signalling Technology公司。

1.4 细胞培养、转染与分组

膀胱癌RT4细胞采用McCoy's 5A完全培养基培养,T24、5637和TCCSUP细胞用含10%FBS和1%青霉素/链霉素的RPMI 1640培养基培养,UMUC-3细胞在10%FBS和1%青霉素/链霉素的MEM完全培养基培养;SV-HUC-1细胞采用F-12K完全培养基培养。待细胞汇合度达80%~90%时进行传代或冻存处理(-80°C或液氮)。

利用 siRNA 干扰技术敲低 CTHRC1 表达,设计了 4条靶向 CTHRC1 的 siRNA,分别是 si-CTHRC1-353 (si-353)、si-CTHRC1-512 (si-512)、si-CTHRC1-647 (si-647)和 si-CTHRC1-718(si-718),将 4条 siRNA 及其 阴性对照(si-NC)质粒转染至 5637 细胞,实验分为空白 对照、si-NC、si-353、si-512、si-647和 si-718组。引物序列: si-353 为 5′-GCCAAUGGCAUUCCG GGUATT-3′; si-512 为 5′-CCUCUUCCCAUUGAAGCUATT-3′; si-718 为 5′-TCGCACTTCTTCTGTGGAATTCA-3′; si-NC 为 5′-UUCUCCGAACGUGUCACGUTT-3′。

1.5 qPCR 法检测膀胱癌组织和细胞中 CTHRC1 mRNA的表达

用 TRIzol 试剂提取组织和细胞中总 RNA,并逆转录为 cDNA。根据 SYBR PrimeScript RT-PCR 试剂盒说明书进行相应操作,使用 Bio-Rad PCR 仪进行反应。 CTHRC1 引物序列:上游为 5'-CAATGGCAT TCCGGGTACAC-3',下游为 5'-GTACACTCCGCA ATTTTCCCAA-3'; β-actin 引物序列:上游为 5'-CAT GTACGTTGCTATCCAGGC-3',下游为 5'-CTCCTT AATGTCACGCACGAT-3'。反应条件:预变性 95 °C 2 min;变性 95 °C 5 s,退火60 °C 30 s,延伸 72 °C 30 s,共40 个循环,计算各组 CT 值。以 β-actin 作为内参,采用 $2^{-\Delta \Delta Ct}$ 法计算目的基因 mRNA 的相对表达量。

1.6 免疫组织化学染色法检测膀胱癌组织中 CTHRC1蛋白的表达

将石蜡切片标本依次进行脱蜡、水化、抗原修复、去除内源性过氧化物酶、封闭后,加入抗-CTHRC1(1:200)抗体,4℃过夜。次日,滴加通用二抗,37℃处理15 min后,加入100 μL辣根过氧化物酶(HRP),37℃处理15 min,DAB显色,苏木精复染、脱水、透明后,使用中性树脂封片。在光学显微镜(×100)下,每张切片随机选取5个视野,观察和计数阳性细胞数。结果评分判定:(1)按染色强度评分:

无色为 0 分,弱阳性为 1 分,阳性为 2 分,强阳性为 3 分;(2)按阳性细胞百分比评分:阳性细胞 < 5%为 0 分,5%~ < 25%为 1 分,25%~ < 50%为 2 分,50%~ < 75%为 3 分,>75%为 4 分。统计分数,最终以染色强度×阳性细胞百分比=每视野评分,取平均值,并根据 CTHRC1 蛋白的免疫组化评分将膀胱癌患者分为高表达组(>4分)和低表达组(<4分)。

1.7 WB 法检测膀胱癌细胞 CTHRC1、FAK-ERK1/2 信号通路相关蛋白的表达

提取各组细胞总蛋白,根据 BCA 法计算蛋白浓度,加入 40 μg 蛋白样本,进行 SDS-PAGE,将蛋白质转移到 PVDF 膜上,5% 脱脂牛奶常温封闭 1.5 h。加入CTHRC1 抗体(1:1 000)、Phospho-FAK(Tyr925) 抗体(1:1 000)、FAK 抗体(1:1 000)、phospho-P44/42 MAPK 抗体(1:1 000)、p44/42 MAPK 抗体(1:1 000)、β-actin 抗体(1:1 000),4°C摇床上过夜。TBST 缓冲液洗涤 3次,5 min/次,加入 HRP标记的山羊抗兔或山羊抗鼠二抗(均为1:3 000),室温下摇床上处理 1 h,TBST 缓冲液洗涤后,采用化学发光法显影。以 ImageJ 软件统计分析蛋白条带的灰度值。

1.8 Transwell 实验检测膀胱癌 5637 细胞的迁移和 侵袭能力

细胞迁移实验:取对数生长期细胞,消化、离心,用无血清培养基重悬并计算细胞密度,使用无血清培养基调整细胞密度为8×10⁵个/mL。Transwell上小室中加入100 μL细胞悬液,下小室中加入700 μL含10%FBS的完全培养基,置入37 ℃、5%CO₂培养箱中培养24 h。取出小室,清洗后,用4%多聚甲醛固定15 min,0.5%结晶紫染色15 min,清洗、风干。

细胞侵袭实验:除使用预铺 matrigel 胶的 Transwell 上小室外,其余操作方法同迁移实验。

1.9 细胞划痕愈合实验检测膀胱癌 5637 细胞的迁移取对数生长期各组细胞,消化、离心、重悬后,将细胞密度为 1×10°个/mL 接种在 6 孔板内,待细胞汇合度达 100%时,用 10 μL 枪头垂直于 6 孔板划竖线,PBS 洗涤,去掉脱落的细胞。分别在 0、24 h时观察细胞划痕愈合情况,并拍照,计算细胞划痕愈合率[愈合百分比=(0 h面积-24 h面积)/0 h面积×100%]。

1.10 基因集富集分析(GSEA)

为鉴定CTHRC1相关的生物学功能和通路,使用TCGA数据集进行GSEA。根据表达中位数分为CTHRC1高表达组和低表达组,并用Broad Institute的GSEA软件3.0执行。从Molecular Signatures Database (http://software.broadinstitute.org/gsea/msigdb/index.jsp)中获得代表特定生物学过程的经典途径基因集(c2.all.

v6.0.symbols.gmt)。每种分析均进行了 $1\,000$ 次基因组排列,以获得标准化富集得分 (normalized enrichment score, NES),用于对每种表型中富集的途径进行分类。 当 P<0.05 和错误发现率 (false discovery rate, FDR)<0.2 时为差异有统计学意义。

1.11 统计学处理

所有实验均独立重复 3 次。采用 IBM SPSS 19.0 和 Graphpad Prism 5.0 软件进行数据统计分析。符合正态分布的计量资料以 $\bar{x}\pm s$ 表示,两组间数据比较采用 t 检验,多组间数据比较采用单因素方差分析;用 Kaplan-Meier 分析生存曲线,用 Log-Rank 检验分析 CTHRC1 与膀胱癌患者临床预后的关系,以 P<0.05 或 P<0.01 表示差异有统计学意义。

2 结 果

2.1 CTHRC1在MIBC中表达上调

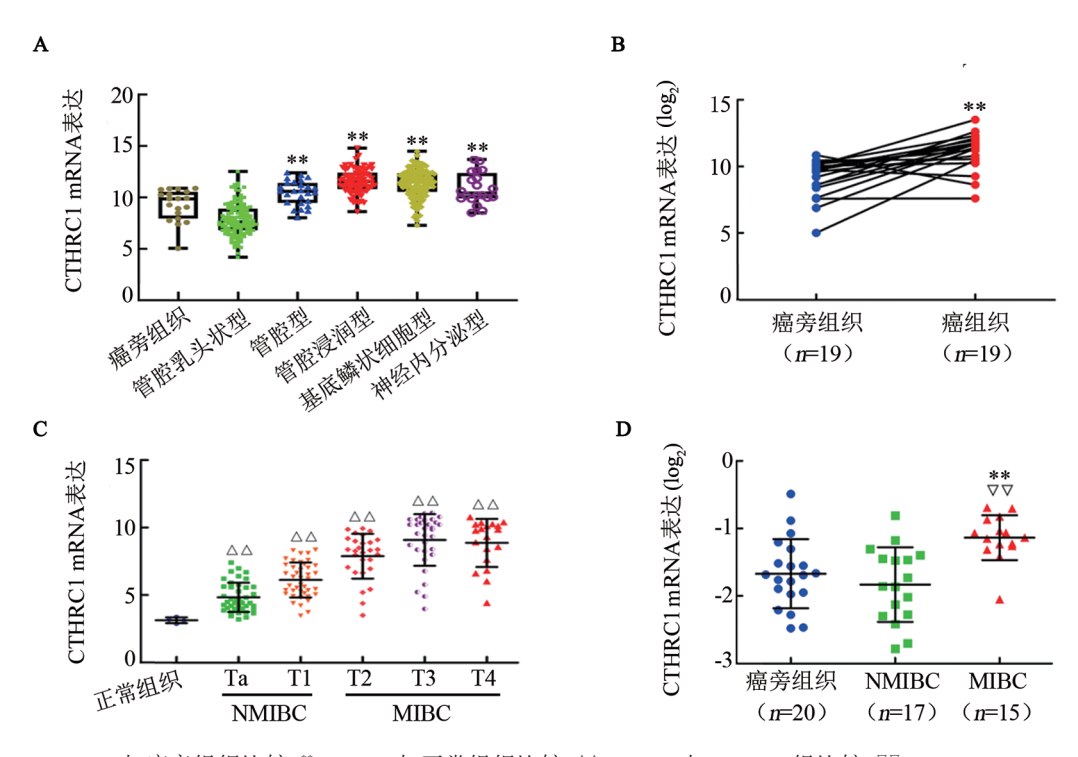
通过TCGA下载的405 例膀胱癌和19 例膀胱癌旁组织标本,参照2017年TCGA的分类标准,将膀胱癌分为管腔乳头状型、管腔型、管腔浸润型、基底鳞状细胞型和神经内分泌型5型。分析结果提示,CTHRC1 mRNA在恶性程度较高的神经内分泌型、基底鳞状细胞型、管腔浸润型和管腔型中的表达水平显著高于癌旁组织(均 P<0.01),而在恶性程度较低的管腔乳头状型中的表达水平较低(图1A)。

分析 TCGA 来源的 19 例膀 胱 癌 组 织 和 癌 旁 组 织,结 果 发 现 CTHRC1 mRNA 在膀胱癌组织中表达显著升高(P<0.01,图 1B)。

分析 ArrayExpress 数据库来源的 E-MTAB-1803 和 E-MTAB-1940 芯片数据,结果发现 CTHRC1 mRNA在MIBC(T2~T4)和非MIBC(NMIBC,Ta、T1期)中的表达水平显著高于正常组织(P<0.05,图 1C)。qPCR法检测结果(图 1D)显示,CTHRC1mRNA在癌旁组织和NMIBC中表达显著低于MIBC(P<0.01),而癌旁组织与NMIBC之间差异无统计学意义(P>0.05)。

免疫组织化学染色结果(图2)显示,CTHRC1蛋白在MIBC组织中的表达强度明显高于癌旁组织和NMIBC组织(均P<0.05),CTHRC1高表达在3组中占比分别是73.15%(79/108)、32.00%(8/25)和38.89%(14/36)。

qPCR 法检测结果(图 3A)显示,与 SV-HUC-1细胞相比,膀胱癌细胞中 CTHRC1 mRNA 表达水平上调,其中以 5637细胞中表达水平最高(P<0.01),而 RT4和 UMUC-3细胞中表达水平较低。WB 法检测结果(图 3B)与 qPCR 法检测结果基本一致(P<0.01), CTHRC1蛋白在 5637细胞中呈高表达状态,因此选择 5637细胞进行后续实验研究。



与癌旁组织比较,"P<0.01;与正常组织比较, $^{\triangle}P$ <0.01;与NMIBC组比较, $^{\nabla\nabla}P$ <0.01

A:CTHRC1在各种分子亚型组织中的表达;B:TCGA队列膀胱癌及癌旁组织中CTHRC1的表达;C:ArrayExpress数据集中4例正常尿路上皮、83例NMIBC和79例MIBC组织中CTHRC1的表达;D:qPCR法检测NMIBC和MIBC组织中CTHRC1的表达

图1 CTHRC1在膀胱癌及癌旁组织中的表达

2.2 CTHRC1表达与膀胱癌患者预后的关系

根据前述免疫组化结果,随访了其中55例患者(CQMU队列),Kaplan-Meier生存曲线结果(图4)显示,CTHRC1高表达组患者OS率显著低于低表达组患者(P<0.01)。通过分析TCGA队列和2个GEO队

列的临床数据发现相似的结果,在TCGA和GSE13507队列中CTHRC1高表达的膀胱癌患者OS较低表达患者缩短(均P<0.05);在GSE31684队列中高CTHRC1表达组无复发生存率(RFS)较低表达组更差(P<0.05)。

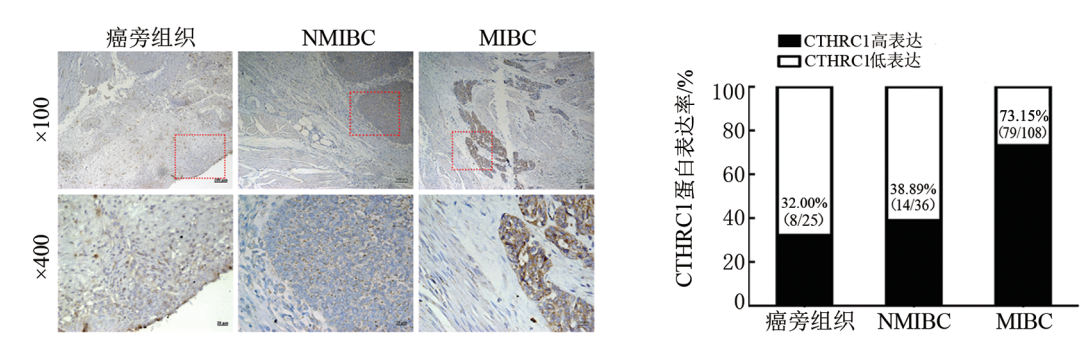
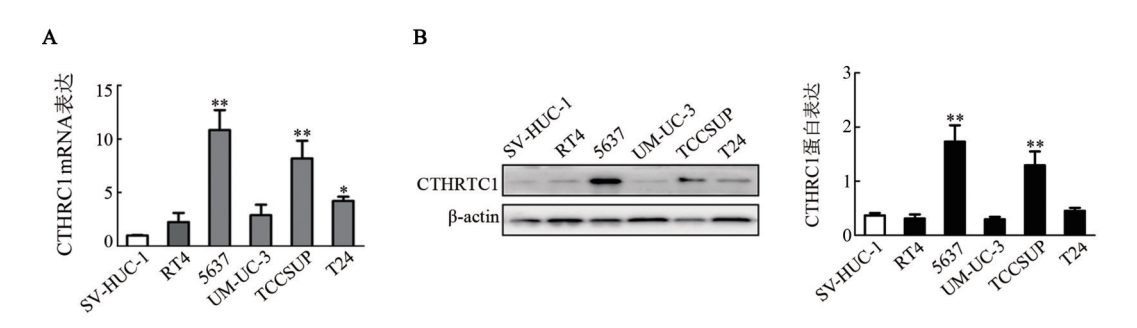


图2 CTHRC1蛋白在癌旁组织、NMIBC及MIBC组织中的表达(免疫组化S-P染色法)



与 SV-HUC-1 细胞比较,*P<0.05,**P<0.01 图**3 CTHRC1 mRNA(A)**和蛋白(B)在正常尿路上皮细胞 SV-HUC-1 和膀胱癌细胞中的表达

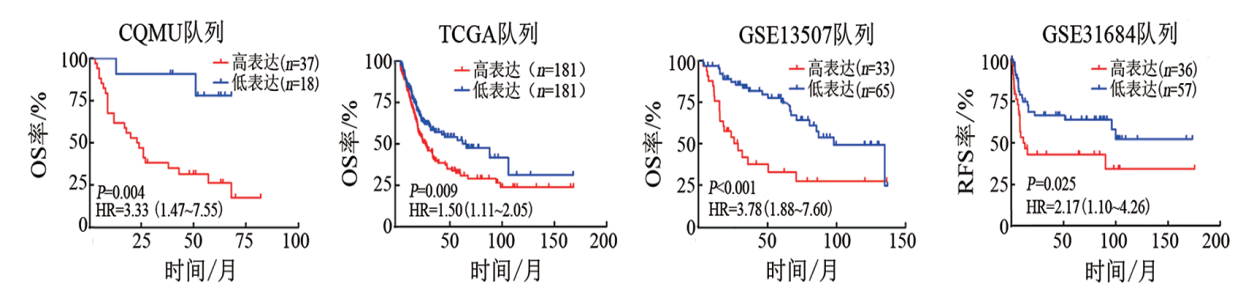


图4 CTHRC1表达对膀胱癌患者OS和RFS的影响

2.3 干扰 CTHRC1 表达可显著下调膀胱癌 5637 细胞中 CTHRC1 mRNA 和蛋白的表达

使用 4 条 siRNA 和 si-NC 瞬时转染膀胱癌 5637 细胞,于转染后 48、72 h 时收集细胞,qPCR 法和 WB 法检测结果(图 5A、B)显示,与 Ctrl 组和 si-NC 组比较,4 条 siRNA 均能显著下调 5637 细胞中 CTHRC1 mRNA 和蛋白的表达水平(均P<0.01),其中 si-512 和 si-718 片段在细胞中的干扰效率均大于 75%,故选择 si-512 和 si-718 片段进行后续功能研究。

2.4 敲低 CTHRC1 表达可显著抑制膀胱癌 5637 细

胞的迁移和侵袭能力

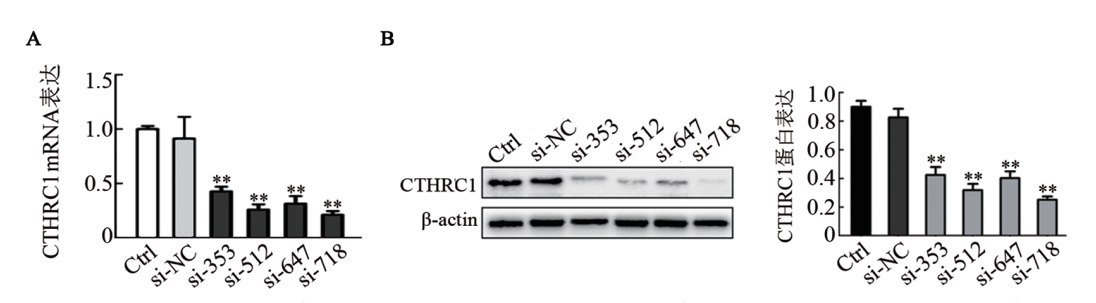
GSEA 分析结果(图 6A)显示,膀胱癌、泛癌侵袭和细胞迁移等基因集显著富集到 CTHRC1 高表达组中,提示 CTHRC1 可能与细胞迁移和侵袭表型相关。细胞划痕愈合实验结果(图 6B)显示,与 si-NC 组相比,敲低 CTHRC1 表达后,5637 细胞的划痕愈合率显著下降(P<0.01)。 Transwell 实验结果(图 6C)显示,与 si-NC 相比,敲低 CTHRC1 表达后的 5637 细胞迁移和侵袭能力均显著降低(均P<0.01)。 结果表明,敲低 CTHRC1 表达后的膀胱癌 5637 细胞迁移和侵袭能力均显著降低。

A

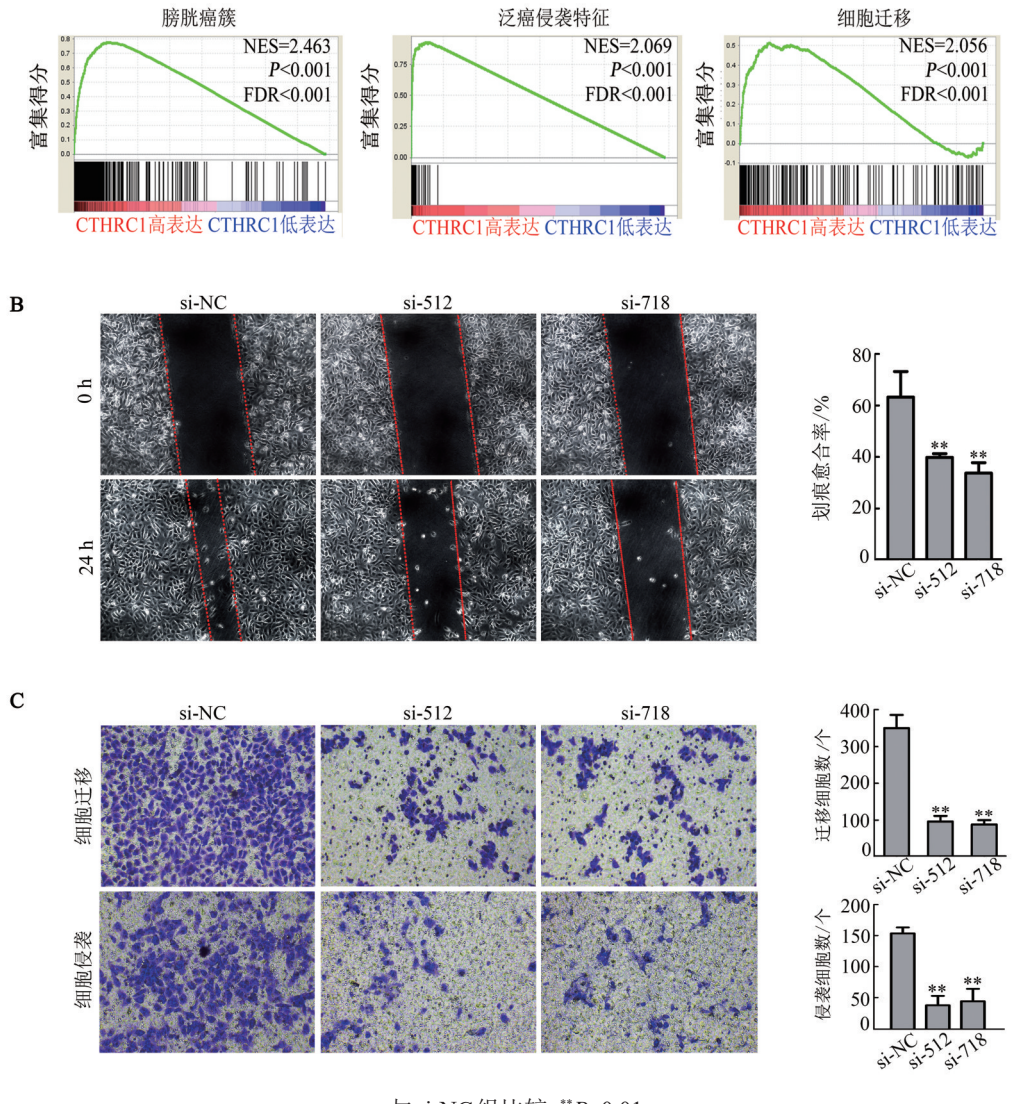
2.5 敲低 CTHRC1 表达可显著抑制 FAK-ERK1/2 信号通路活性

基于TCGA测序数据进行基因集富集分析结果(图7)发现,FAK、肌动蛋白细胞骨架调节、FAK通

路,以及丝裂原活化蛋白激酶等通路显著富集到 CTHRC1 高表达组(均P<0.01)。分析结果表明,膀胱癌中CTHRC1 高表达可能与细胞 FAK、细胞黏附和细胞骨架变化有关。



与Ctrl组或si-NC组比较,**P<0.01 图5 qPCR法(A)和WB法(B)检测RNAi对CTHRC1的干扰效率



与si-NC组比较,**P<0.01

A:GSEA分析CTHRC1表达与膀胱癌侵袭、迁移相关基因的关系;B:伤口愈合实验检测敲低CTHRC1对5637细胞迁移的影响; C:Transwell实验检测敲低CTHRC1基因对5637细胞迁移和侵袭的影响(×100)

图 6 干扰 CTHRC1 表达对 5637 细胞迁移和侵袭的影响

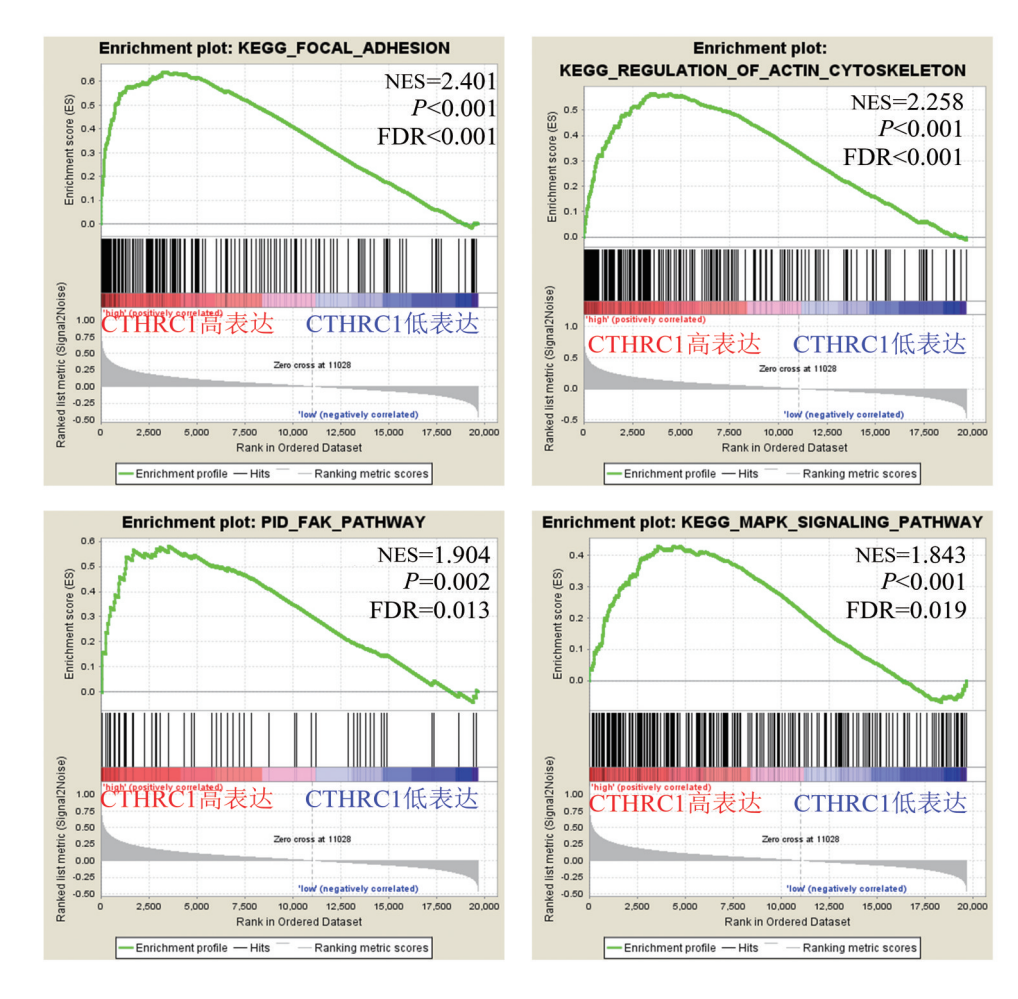
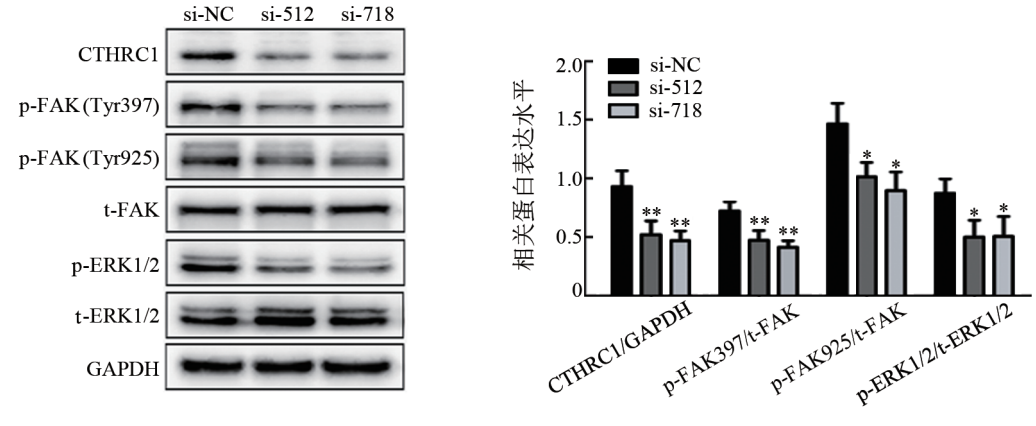


图7 GSEA分析富集在CTHRC1高表达组中的基因集和信号通路

根据文献¹⁹报道以及GSEA分析结果,研究 CTHRC1是否参与调控FAK通路。WB法检测FAK 信号通路中的关键蛋白的表达变化,结果发现,敲低 CTHRC1表达后5637细胞黏附通路主要分子p-FAK (Tyr-397/925)、p-ERK1/2 等蛋白磷酸化水平显著下降,差异有统计学意义(P<0.05 或P<0.01,图 8)。结果证实,CTHRC1 基因参与调控 FAK-ERK1/2 信号通路的活性。



与si-NC组比较,*P<0.05,**P<0.01

图8 干扰 CTHRC1 表达对 FAK-ERK1/2 信号通路相关蛋白表达的影响

3 讨论

NMIBC患者接受经尿道膀胱肿瘤切除术治疗后

仍有60%以上会发生复发,其中约10%~20%的病例会进展为MIBC。NMIBC患者5年OS率较高(大于80%),当其进展为MIBC时,5年OS率降低至60%左

右^{10]}。术后监测手段包括膀胱镜检查或尿液细胞学检查,但对于乳头状肿瘤和扁平原位癌病变仍有漏诊风险¹¹¹。目前尚无除尿液细胞学检查以外的高效无创的标准检测手段。因此,在膀胱癌逐渐进展至浸润表型的过程中,探索相应的生物标志物及其潜在的分子机制势在必行。

既往研究结果^[8]表明,CTHRC1转录和蛋白水平在多种实体瘤中均呈普遍高表达状态。本研究首先利用TCGA测序数据分析CTHRC1在癌旁组织和不同分子分型膀胱癌之间的表达水平。分析ArrayExpress数据库来源的芯片数据发现,CTHRC1在正常膀胱黏膜组织和NMIBC组织中表达较低,而在MIBC组织中表达明显上调。进一步实验发现,CTHRC1无论是在膀胱癌组织还是细胞系中均呈高表达状态。此外,CTHRC1与膀胱癌患者预后密切相关,Kaplan-Meier生存曲线显示CTHRC1高表达组患者OS明显低于CTHRC1低表达组患者。研究结果提示,CTHRC1在膀胱癌中高表达,且可作为判断膀胱癌预后的生物标志物。

CTHRC1 高表达促进肿瘤细胞恶性生物学行为, 增强其增殖、迁移和侵袭能力。随后,对CTHRC1在 膀胱癌细胞中发挥的生物学功能进行了研究。通过 RNA干扰实验,发现敲低 CTHRC1 表达可显著抑制 膀胱癌 5637 细胞的迁移和侵袭能力。CTHRC1 增强 非小细胞肺癌(non-small cell lung cancer, NSCLC)细 胞的侵袭和转移,该过程由MMP7和MMP9介导,具 体机制为CTHRC1通过AP-1/c-Jun上调MMP7表达, 以及通过NF-κB和AP-1上调MMP9表达[12]。也有研 究结果[13]表明,CTHRC1通过诱导β-catenin核转位, 增强β-catenin/TCF转录活性以及增加GSK-3β Ser-9 位点磷酸化水平来以促进NSCLC细胞的侵袭性, Wnt/β-catenin 抑制剂 DKK1 可降低 CTHRC1 介导的 β-catenin/TCF 转录活性,以及逆转 CTHRC1 诱导的 细胞增殖和迁移。在结直肠癌细胞中,CTHRC1通过 稳定TGF-β受体与配体的结合,持续激活TGF-β信号 通路,从而促进小鼠 MC38 和 CT26 细胞肝转移[14]。 以上研究与本研究结果有相似之处,即CTHRC1可 增强肿瘤细胞恶性进展相关的生物学行为。

FAK是一种非受体酪氨酸激酶,是肿瘤微环境中细胞信号转导的多功能调节因子,在整联蛋白黏附位点提供信号转导和支架功能,参与这些黏附位点的转换调节,这是控制细胞迁移的关键过程。在发育期间和各种肿瘤中,FAK通过激酶依赖性和非依赖性机制促进细胞迁移、存活和增殖[15-16]。促进FAK活化的机制与整联蛋白受体在细胞与细胞外基质蛋白结合后聚类和FAK二聚化相关,这会导致

FAK Y397位点自动磷酸化、Src 家族激酶与磷酸化位 点的结合、FAK结构域激活环(Y576/577)的Src介导 的磷酸化,以及活化的FAK-Src复合物的形成。肿瘤 细胞侵入周围微环境是肿瘤进展的关键步骤,这需 要通过黏着斑和细胞骨架动力学的改变以及MMP 活性的改变来转变为运动表型,以促进肿瘤细胞向 细胞外基质侵袭^[17]。本研究通过 GSEA 分析发现, FAK和ERK1/2等与细胞黏附、黏着斑和细胞骨架变 化相关的基因集显著富集在CTHRC1高表达组。黏 着斑将细胞骨架肌动蛋白和整合素受体连接并与细 胞外基质建立联系,通过黏附作用、分子组合的改变 和信号转化来驱动细胞迁移,这提示FAK介导的黏 着斑和细胞骨架动力学变化可能与CTHRC1调控的 膀胱癌细胞运动表型的改变密切相关。FAK的显性 负性形式抑制 MMP2 的表达和活性,而反义介导的 FAK 缺失也降低了肿瘤细胞中 MMP 的表达,这意味 着 FAK 对维持 MMP 降解肿瘤基质的功能和活性是 必要的[18]。FAK 促进了v-Src 转化的成纤维细胞中 SRC-CAS-CRK-DOCK180复合物的装配,导致RAC1 和 JNK 活化,并促使 MMP2 和 MMP9 表达增加[19]。 因此,FAK通过不同的途径调节细胞运动和侵袭,即 促进迁移过程中黏着斑和周围肌动蛋白结构的动态 调节,以及MMP介导的基质降解。本研究发现, CTHRC1可促进FAK Tyr397/925位点发生磷酸化, 伴随下游ERK1/2信号通路活化。FAK在Y397位点 上的磷酸化有助于滋养层细胞的迁移和侵袭[20],这与 本研究的结果较为一致,提示CTHRC1通过调控 p-FAK和p-ERK1/2以影响膀胱癌细胞的迁移与 侵袭。

综上所述,本研究通过分析数据库膀胱癌临床标本和数据,发现CTHRC1在MIBC组织中表达上调,且CTHRC1高表达组患者预后不良;体外功能实验和机制研究结果提示,CTHRC1参与调控膀胱癌细胞的迁移与侵袭表型,该过程受FAK-ERK1/2信号通路介导,提示CTHRC1在膀胱癌恶性进展中发挥重要的调控作用,有望成为新的膀胱癌诊断的生物标志物和治疗的靶点。

[参考文献]

- [1] GERARDUZZI C, HARTMANN U, LEASK A, et al. The matrix revolution: matricellular proteins and restructuring of the cancer microenvironment[J]. Cancer Res, 2020, 80(13): 2705-2717. DOI: 10.1158/0008-5472.CAN-18-2098.
- [2] POPOVA N V, JÜCKER M. The functional role of extracellular matrix proteins in cancer[J/OL]. Cancers, 2022, 14(1): 238[2021-08-03]. https://pubmed.ncbi.nlm.nih.gov/35008401/. DOI:10.3390/cancers14010238.
- [3] AMILCA-SEBA K, SABBAH M, LARSEN A K, et al. Osteopontin

- as a regulator of colorectal cancer progression and its clinical applications[J/OL]. Cancers (Basel), 2021, 13(15): 3793[2021-08-03]. https://www. ncbi. nlm. nih. gov/pmc/articles/PMC8345080/. DOI:10.3390/cancers13153793.
- [4] BAO J M, DANG Q, LIN C J, et al. SPARC is a key mediator of TGF-β-induced renal cancer metastasis[J]. J Cell Physiol, 2021, 236 (3): 1926-1938. DOI:10.1002/jcp.29975.
- [5] YEUNG T L, LEUNG C S, WONG K K, et al. TGF- β modulates ovarian cancer invasion by upregulating CAF-derived versican in the tumor microenvironment[J/OL]. Cancer Res, 2013, 73(16): 5016-5028 [2021-08-03]. https://www.ncbi.nlm.nih.gov/pmc/articles/PMC 3745588/. DOI:10.1158/0008-5472.CAN-13-0023.
- [6] PEZESHKIAN Z, NOBILI S, PEYRAVIAN N, et al. Insights into the role of matrix metalloproteinases in precancerous conditions and in colorectal cancer[J/OL]. Cancers (Basel), 2021, 13(24): 6226[2021-08-03]. https://www.ncbi.nlm.nih.gov/pmc/articles/PMC8699154/. DOI: 10.3390/cancers13246226.
- [7] 薛昭君, 贾原, 张俊萍. 肿瘤微环境中CXC型趋化因子及其受体 的研究进展[J]. 中国肿瘤生物治疗杂志, 2020, 27(7): 715-724. DOI:10.3872/j.issn.1007-385x.2020.07.001.
- [8] MEI D, ZHU Y, ZHANG L L, et al. The role of CTHRC1 in regulation of multiple signaling and tumor progression and metastasis[J/OL]. Mediators Inflamm, 2020, 2020: 9578701[2021-08-03]. https://www.ncbi.nlm.nih.gov/pmc/articles/PMC7441421/. DOI:10.1155/2020/9578701.
- [9] PARK E H, KIM S, JO J Y, et al. Collagen triple helix repeat containing-1 promotes pancreatic cancer progression by regulating migration and adhesion of tumor cells[J]. Carcinogenesis, 2013, 34 (3): 694-702. DOI:10.1093/carcin/bgs378.
- [10] YIN H B, HE W Y, LI Y H, et al. Loss of DUSP2 predicts a poor prognosis in patients with bladder cancer[J/OL]. Hum Pathol, 2019, 85: 152-161[2021-08-03]. https://pubmed.ncbi.nlm.nih.gov/30458195/. DOI:10.1016/j.humpath.2018.11.007.
- [11] SIMON M, BOSSET P O, ROUANNE M, et al. Multiple recurrences and risk of disease progression in patients with primary low-grade (TaG1) non-muscle-invasive bladder cancer and with low and intermediate EORTC-risk score[J/OL]. PLoS One, 2019, 14 (2): e0211721[2021-08-03]. https://www.ncbi.nlm.nih.gov/pmc/ articles/PMC6392242/. DOI:10.1371/journal.pone.0211721.
- [12] HE W L, ZHANG H, WANG Y F, et al. CTHRC1 induces nonsmall cell lung cancer (NSCLC) invasion through upregulating MMP-7/MMP-9[J/OL]. BMC Cancer, 2018, 18(1): 400[2021-08-

- 03]. https://www.ncbi.nlm.nih.gov/pmc/articles/PMC5891957/. DOI:10.1186/s12885-018-4317-6.
- [13] KE Z F, HE W L, LAI Y H, et al. Overexpression of collagen triple helix repeat containing 1 (CTHRC1) is associated with tumour aggressiveness and poor prognosis in human non-small cell lung cancer[J/OL]. Oncotarget, 2014, 5(19): 9410-9424[2021-08-03]. https://www.ncbi.nlm.nih.gov/pmc/articles/PMC4253443/.DOI: 10.18632/oncotarget.2421.
- [14] ZHANG X L, HU L P, YANG Q, et al. CTHRC1 promotes liver metastasis by reshaping infiltrated macrophages through physical interactions with TGF-β receptors in colorectal cancer[J]. Oncogene, 2021, 40(23): 3959-3973. DOI:10.1038/s41388-021-01827-0.
- [15] NASER R, ALDEHAIMAN A, DÍAZ-GALICIA E, et al. Endogenous control mechanisms of FAK and PYK, and their relevance to cancer development[J/OL]. Cancers (Basel), 2018, 10(6): E196[2021-08-03]. https://www. ncbi. nlm. nih. gov/pmc/articles/PMC6025627/. DOI: 10.3390/cancers10060196.
- [16] XU S S, XU H X, WANG W Q, et al. The role of collagen in cancer: from bench to bedside[J/OL]. J Transl Med, 2019, 17(1): 309[2021-08-03]. https://www.ncbi.nlm.nih.gov/pmc/articles/ PMC6744664/. DOI:10.1186/s12967-019-2058-1.
- [17] SULZMAIER F J, JEAN C, SCHLAEPFER D D. FAK in cancer: mechanistic findings and clinical applications[J/OL]. Nat Rev Cancer, 2014, 14(9): 598-610[2021-08-03]. https://www.ncbi.nlm. nih.gov/pmc/articles/PMC4365862/. DOI:10.1038/nrc3792.
- [18] JANG B, JUNG H, CHOI S, et al. Syndecan-2 cytoplasmic domain up-regulates matrix metalloproteinase-7 expression via the protein kinase Cy-mediated FAK-ERK signaling pathway in colon cancer [J/OL]. J Biol Chem, 2017, 292(39): 16321-16332[2021-08-03]. https://www. ncbi. nlm. nih. gov/pmc/articles/PMC5625061/. DOI: 10.1074/jbc.M117.793752.
- [19] HSIA D A, MITRA S K, HAUCK C R, et al. Differential regulation of cell motility and invasion by FAK[J]. J Cell Biol, 2003, 160(5): 753-767. DOI:10.1083/jcb.200212114.
- [20] ILIĆ D, GENBACEV O, JIN F, et al. Plasma membrane-associated pY397FAK is a marker of cytotrophoblast invasion in vivo and in vitro[J/OL]. Am J Pathol, 2001, 159(1): 93-108[2021-08-03]. https: //www.ncbi.nlm.nih.gov/pmc/articles/PMC1850415/. DOI:10.1016/ S0002-9440(10)61677-X.

[收稿日期] 2021-08-04 党瑞山

[修回日期] 2022-02-06

[本文编辑]